

論 文

大韓造船學會誌
第27卷 第1號 1990年 3月
Journal of the Society of
Naval Architects of Korea
Vol. 27, No. 1, March 1990

自動車運搬船 船體低次振動의 解析

金極天*, 趙大昇**, 鄭正勳**, 姜俊旭**, 文碩俊**, 禹濟赫***

An Investigation into the Hull-Girder Vibration Analysis of
RO/RO Car/Truck Carriers
by

K.C. Kim*, D.S. Cho**, J.H. Chung**, J.W. Kang**
S.J. Moon** and J.H. Woo***

要 約

근년에 이르러 에너지節約型船 개발이 촉진됨에 따라 디젤엔진이 大口徑・長行程・小數질린더・低回轉數化함으로써 不平衡모멘트가 커지자 특히 中型船에 대해 低振動數領域의 船體振動 防振設計가 주요과제로 대두되고 있다.

自動車運搬船의 경우 構造的 特性 및 船形幾何學의 特性이 一般商船과는 매우 다르다. 본 논문에서는 船體上下振動, 船體水平・垂疊聯成振動에 대하여 보류推이론에 의거한 해석방법의 정립을 위하여 전기 특성을 고려한 적정한 모델링방법, 附加水質量 및 동 center, 附加水質量 極慣性 모멘트, 斷面의 剪斷係數 등의 적정한 산정방법, 水平・垂疊運動의 聯成度, modal解析 즉 mode중첩법에 의한 強制振動應答의 계산 등에 관하여 實船에 대한 數值實驗的 計算例를 통해 일련의 고찰을 거쳐 합리적인 해석방법을 제시했다.

Abstract

Most of the medium-size ships are powered by large-bore, long-stroke, slow-speed and two-stroke diesel engines in order to improve the fuel efficiency. Such a propulsion plant develops low-frequency excitation forces/momenta of significant magnitude. A RO/RO car/truck carrier is also one of the cases.

In this paper, the rational methods for analysis of vertical and coupled horizontal-torsional vibrations are presented. Taking account of unusual characteristics of the hull form and structural systems, the emphasis is put on modelling methods based on beam analogy, calculation of system parameters such as added mass and its center, polar added-mass moment of inertia, shear coefficient of hull sections and coupling degree in antisymmetric modes, and modal analysis of forced vibrations.

발표 : 1989년도 대한조선학회 추계인구발표회 ('89.11.11)

작수일자 : 1989년 11월 25일, 제작수인자 : 1990년 2월 15일

* 正會員, 서울大 工大

** 正會員, 서울大 工大 大學院

*** 正會員, 大宇造船(株) (인구당시 서울대 대학원생)

記 號

A, T	: 傳達매트리스
\bar{C}_r	: r 次 modal 減衰係數
k	: 船體斷面 剪斷係數
M_B	: 閃轉モ멘트
M_T	: ビルモメン트
M_r	: r 次 modal 質量
m	: 離散化 分割要素의 質量(附加水質量 포함)
$m(x, t)$: 起振闪轉モメン트
$p(x, t)$: 起振力
Q	: 剪斷力
$q(x, t)$: 起振ビルモメン트
t	: 時間變數
v	: 剪斷中心의 水平方向 變位 (下添字 r : r 次 mode)
x	: 길이 좌표
Y	: 狀態量벡터
y	: 重心의 上下方向 變位(下添字 r : r 次 mode)
δ_r	: r 次 modal 對數減衰率
$\eta_r(t)$: 基準座標系
r	: y 또는 v 的 기울기에 대한 剪斷變形寄與分 (下添字 r : r 次 mode)
ω_r	: r 次 固有圓振動數
θ	: y 또는 v 的 기울기에 대한 閃轉寄與分 (下添字 r : r 次 mode)
ϕ	: 剪斷中心의 ビル角變位(下添字 r : r 次 mode)
ρ	: 剪斷中心과 質量中心사이의 거리
ξ_r	: r 次 modal 減衰比

1. 序 論

근년에 이르러 에너지節約型船 개발이 촉진됨에 따라 디이셀엔진이 大口徑・長行程・小數直列式・低回轉數化 함으로서 不平衡모멘트가 커지자 특히 中型船에 대해 低振動數領域의 船體振動 防振設計가 주요과제로 대두되고 있다.

中型船에 대하여 엔진의 不平衡모멘트를 의식한 船體振動解析은 일반적으로 보류推이론에 의거하여 좋은 결과를 얻을 수 있다[1]. 다만, 自動車運搬船의 경우 船首深水艙격벽과 機關室격벽 사이에 격벽이 있고, 多重甲板이며 船尾部에 ramp-way/post 등 매우 큰 집중하중이 있다. 또 船形幾何學적으로는 船尾部 左右舷이

金極天, 趙大昇, 鄭正烈, 姜俊旭, 文顯俊, 韓濟赫

미대칭이고 일반상선에 비해 길이・폭비 및 길이・깊이비가 매우 작고 폭・총수비는 매우 크다는 특성을 가졌다.

본 연구에서는 自動車運搬船의 船體上下振動, 船體水平・ビル聯成振動에 대하여 보류推이론에 의거한 해석방법의 정립을 위하여 전기 특성을 고려한 적정한 모델링 방법, 附加水質量 및 동 center, 附加水質量 極慣性모멘트, 斷面의 剪斷係數 등의 적정한 산정방법, 水平・ビル舉動의 聯成度, modal 解析 及 mode중첩법에 의한 強制振動應答의 계산 등에 관하여 實船에 대한 數值實驗的 計算例를 통해 일련의 고찰을 수행했다.

2. 解析方法

2.1. 固有振動數 및 mode shapes

船體上下振動의 경우 Myklestad-Prohl 모델ing에 의해 n 自由度系로 離散화하고 Timoshenko보이론에 의거 傳達매트리스법에 의해 정식화한다[2,3].

船體水平・ビル聯成振動에 대해서는 n 自由度 偏心集中慣性要素系로 離散화하고 傳達매트리스법에 의해 정식화한다[3,4]. 즉, Fig. 1에 보인 바와 같이 離散化船體斷面要素에 대하여 等價慣性要素를 船體center面內에서 각 斷面要素의 重心위치 S_i 에 집중시키고, 이들이剪斷中心 R_i 를 통과하는 等價彈性線分에 刚體데미에 의해 연결된 것으로 간주한다. 水平舉動에 대해서 Timoshenko보이론을, ビル舉動에 대해서 St. Venant 빌미론을 적용한다.

station의 狀態量벡터 Y 를 上下振動에 대하여

$$Y = [y, \theta, Q, M_B]^T \quad (1)$$

水平・ビル聯成振動에 대하여

$$Y = [v, \theta, \phi, Q, M_B, M_T]^T \quad (2)$$

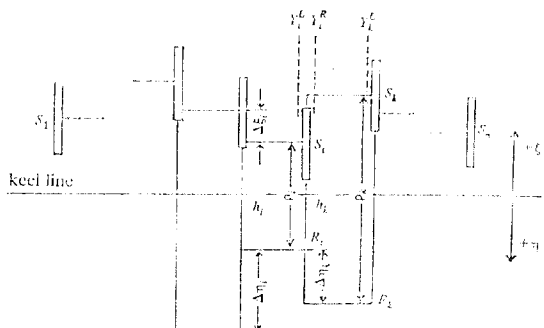


Fig. 1 Approximate system of discrete eccentric elements for coupled horizontal and torsional vibrations

와 같이 정의할 때, 인접한 i (좌단으로부터 1, 2, ⋯), $k (= i+1)$ station의 左端狀態量 벡터관계식은 傳達매트릭스 A_k 에 의해

$$Y_k^L = A_k Y_i^L \quad (3)$$

와 같이 표현된다. 系 전체의 傳達매트릭스 $T_{(n+1)}$ 를

$$T_{(n+1)} = A_{n+1} \cdot A_n \cdot A_{n-1} \cdots A_2 \quad (4)$$

와 같이 정의할 때 船體 左, 右端 station의 狀態量 벡터관계식은

$$Y_n^R = T_{(n+1)} Y_1^L \quad (5)$$

와 같이 표현된다. 여기서 傳達매트릭스 A 의 要素는 [8, 9]에 보인 바와 같다.

(5)에 兩端自由境界條件을 대입함으로써 振動數方程式이 얻어지고, r 차 mode shape는 해당 固有圓振動數 ω_r 를 傳達매트릭스에 대입한 후 식 (3)에 의한 축차계 산에 의해 얻을 수 있다. 구체적인 해법의 한 예가 [3]에 주어져 있다.

2.2. 強制振動應答

2.1의 계산결과를 이용한 modal 解析 즉, mode 중 합법에 의해 계산한다. 基本定式化에 있어서는 有限自由度 離散化에 의한 근사계산, 附加水質量 및 有效剛性의 振動次數에 따른 변화 등이 mode 直交關係式에 미치는 영향, 減衰의 cross-mode 영향 등을 무시하고 [5, 6, 7], 이와 같은 因子들이 振動應答에 미치는 정량적 영향에 대해서는 數值計算例 및 考察에서 별도로 다룬다.

上下振動應答

起振力 $p(x, t)$ 및 起振矩矩모멘트 $m(x, t)$ 를 변수분리하여

$$\begin{aligned} p(x, t) &= p(x)f_p(t) \\ m(x, t) &= m(x)f_m(t) \end{aligned} \quad (6)$$

와 같이 표현하고, 이에 대한 振動應答을

$$\begin{aligned} y(x, t) &= \sum_{r=1}^n y_r(x)\eta_r(t) \\ \theta(x, t) &= \sum_{r=1}^n \theta_r(x)\eta_r(t) \end{aligned} \quad (7)$$

와 같이 가정할 때 $y_r(t)$ 는 zero 初期條件에 대해 다음과 같이 산정된다[6].

$$\begin{aligned} \eta_r(t) &= \frac{1}{M_r\omega_d} \left\{ \int_0^L p(x)y_r(x)dx \right. \\ &\quad \left. + \int_0^t f_p(\tau) \exp(-\zeta_r\omega_r(t-\tau)) \sin \omega_d(t-\tau)d\tau \right. \\ &\quad \left. + \int_0^L m(x)\theta_r(x)dx \right. \end{aligned}$$

$$\cdot \int_0^t f_m(\tau) \exp(-\zeta_r\omega_r(t-\tau)) \sin \omega_d(t-\tau)d\tau \} \quad (8)$$

여기서

$$\left. \begin{aligned} \zeta_r &= \frac{C_r}{2M_r\omega_r} \approx \frac{\delta_r}{2\pi} \\ \omega_d &= \omega_r \sqrt{1 - \zeta_r^2} \end{aligned} \right\} \quad (9)$$

이고 M_r 는 r 차 modal 質量, C_r 는 r 차 modal 減衰係數이고, δ_r 는 r 次 modal 對數減衰率이다.

水平・垂直聯成振動 應答

水平方向의 起振力 $p(x, t)$ 및 起振矩矩모멘트 $m(x, t)$ 는 (6)과 같아, 起振미률모멘트 $q(x, t)$ 를

$$q(x, t) = q(x)f_q(t) \quad (10)$$

와 같이 표현하고, (6) 및 (10)에 대한 振動應答을

$$v(x, t) = \sum_{r=1}^n v_r(x)\eta_r(t)$$

$$\theta(x, t) = \sum_{r=1}^n \theta_r(x)\eta_r(t)$$

$$r(x, t) = \sum_{r=1}^n r_r(x)\eta_r(t)$$

$$\phi(x, t) = \sum_{r=1}^n \phi_r(x)\eta_r(t) \quad (11)$$

와 같이 가정할 때 $\eta_r(t)$ 는 zero 初期條件에 대해 다음과 같이 산정된다[7].

$$\begin{aligned} \eta_r(t) &= \frac{1}{M_r\omega_d} \left[\int_0^L \{v_r(x) + \rho(x)\phi_r(x)\} p(x)dx \right. \\ &\quad \left. + \int_0^t f_p(\tau) \exp(-\zeta_r\omega_r(t-\tau)) \sin \omega_d(t-\tau)d\tau \right. \\ &\quad \left. + \int_0^L \theta_r(x)m(x)dx \right. \\ &\quad \left. + \int_0^t f_m(\tau) \exp(-\zeta_r\omega_r(t-\tau)) \sin \omega_d(t-\tau)d\tau \right. \\ &\quad \left. + \int_0^t \phi_r(x)q(x)dx \right. \\ &\quad \left. + \int_0^t f_q(\tau) \exp(-\zeta_r\omega_r(t-\tau)) \sin \omega_d(t-\tau)d\tau \right] \end{aligned} \quad (12)$$

여기서 $\rho(x)$ 는 剪斷中心과 質量中心사이의 거리(前者가 後者의 下方에 있을 때 +)이고, M_r , ζ_r 및 ω_d 의 정의는 (8), (9)에 서와 같다. 다만, ζ_r 를 modal 對數減衰率을 이용하여 (9)에 의해 산정할 경우 δ_r 를 水平 mode에 대한 것 δ_r^H 및 垂直 mode에 대한 것 δ_r^T 를 이용하여 근사적으로

$$\delta_r \approx \delta_r^H + \delta_r^T \quad (13)$$

에 의해 산정할 수 있다.

3. 數值實驗的 計算例 및 考察

3.1. 試算對象船

數值實驗的 試算對象船의 主要要目 等은 Table 1과 같다.

이 배의 固定甲板數는 6개이고, 船首尾張出部의 길이가 길어서 船尾쪽이 AP로부터 Lbp의 약 3%, 船首쪽이 FP로부터 Lbp의 약 4%에 달한다. 또 船尾張出部에는 ramp-way 및 등 post 등 약 300톤에 달하는 裝備重量이 부가되고 있다. 船形幾何學의 으로는 일반 商船에 비해서 길이·폭·L/B 및 길이·깊이·L/D가 매우 작고, 폭·총수 비 B/T 및 길이·총수 비 L/T는 매우 큰 특성을 가졌다.

Table 1 Principal particulars of the ship adopted for numerical calculations.

Type of ship	RO/RO Car/Truck carrier
Length o.a.	195.00m
Length b.p.	182.40m
Breadth, moulded	32.00m
Depth, moulded	30.95m
Draught, design	11.00m
DWT on design draught	9,300 tonnes
Service speed, design draught	19.0 knots
No. of fixed decks	6
Ballast condition:	
Draught, mean	7.916m
Displacement	24,860 tons
Main engine	17,480 PS at 93.2 rpm

3.2. 離散化方法 및 system parameter算定

船首尾張出部가 길고 또 특히 船尾張出部에 매우 큰 裝備重量이 부가되어 있음을 고려하여 船體全長을 기준으로 한 要素分割방법과 Lbp를 기준으로하고 船首尾端集中質量이 FP 및 AP에 위치하도록 分割하는 방법이 비교 검토되었다. 分割要素수는 30~45 범위에서 검토되었다.

system parameter算定에 대해서는 주로 船體斷面의 剪斷係數 k , 附加水質量 및 水平·비률聯成의 尺度인 剪斷中心과 重心間의 거리가 검토되었다.

剪斷係數算定에 있어서는 특히 上下振動에 대해 3次元 弹性論에 의거하여 Poisson비를 고려한 Cowper

Table 2 Comparisons of shear coefficients of midship sections: vertical mode.

Ship type	k_0	k_c	k_s
RO/RO ship	0.102	0.104	0.106
Container ship	0.214	0.220	0.225
Bulk carrier	0.161	0.170	0.180
Ore/Oil carrier	0.248	0.256	0.266
Chemical tanker	0.256	0.257	0.269

[11], κ_c , 및 Stephen[12], k_s 의 方便法 Poisson 바를 무시하는 종래의 원의적 变形에너지法, k_0 이 검토되었다. 中央斷面에 대한 값을 예시하면 $k_0=0.102$ 에 대해 $k_c=0.104$, $k_s=0.106$ 이어서 상호간 차이가 근소하다. Table 2가 대표적인 他船種 中型船[13, 14]과의 비교인데 RO/RO선은 多重甲板이므로 k_0 가 상대적으로 매우 작다. 水平振動에 대해서는 多重甲板임을 고려할 때 有效剪斷面積으로서 균자적으로 甲板, 二重底板, 船底外板 등 web面積을 취해도 나당한 결과를 얻을 수 있다고 판단된다.

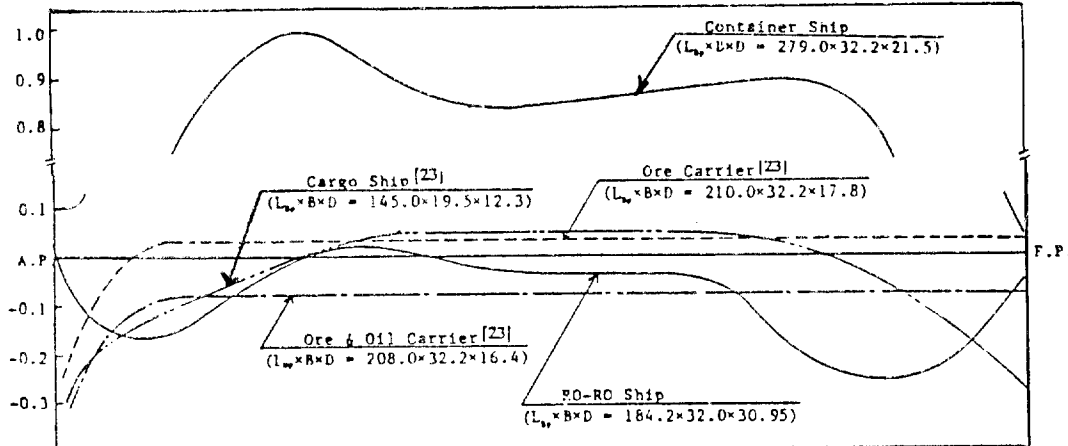
附加水質量算定에 있어서는 2次元의 舷端 3次元修正係數 문제가 주의되어야 한다. 2次元의 附加水質量 및 附加水質量極慣性모멘트에 대해서는 Lewis form方法[15, 16]과 Frank方法[17]이 비교 검토되었으며, 水平 mode에 대한 附加水質量中心에 대해서는 Umezaki 등[18]의 개념에 입각한 산정방법[19]을 채택했다. RO/RO선은 水線下斷面의 幾何學의 特性上 Lewis form近似가 不可한 부분이 있다. 本試算船의 경우 船體線圖에 있어서 Lewis form近似가 적용되는 부분이 station #3~#9 범위이다. 따라서 그외 斷面에 대해서는 Frank方法의 적용이 불가피하다. 固有振動數계산에 있어서는 Frank方法에 의한 계산결과 또는 Frank方法과 Lewis方法의 混用에 의한 계산결과가 비교 검토되었다. 참고로 Table 3에 中央斷面에 대한 두방법에 의한 附加水質量, 固有振動數(水平 mode) 및 同慣性모멘트(비률 mode)를 예시했다.

RO/RO船의 附加水質量 3次元修正係數 J_V, J_H, J_T 에 대해서는 일반적으로 幅·吃水比가 3.5~4.0, 길이·幅比가 6.0 이하, 길이·吃水比 16 이상일은 고려할때 보통 선박에서와 같이 回轉桁圓體 또는 有肋長圓柱에 대한 값을 준용하기 원만하며 有肋長圓柱斷面柱狀體에 대한 값을 준용하는 것이 바람직하다. 따라서 본 연구에서는 기왕의 연구[20~22]에 대해 수치계산을 일부 보완하여 이를 준용했다.

水平·비률聯成의 尺度인 重心과 剪斷中心간의 거리

Table 3 2-D added mass, added mass center and polar added mass moment of inertia of midship section: ballast condition.

	Added mass(t/m)		Added mass center above W.L. (horiz. mode) (m)	Polar added mass moment of inertia (tors. mode)(t·m ²)
	Vertical mode	Horiz. mode		
Frank's method	495.25	47.75	6.46	7,882.6
Lewis' method	426.52	41.13	6.04	7,625.0

**Fig. 2** Ratio of weight center height above shear center to depth: ballast condition.**Table 4** Natural frequencies of vertical modes: ballast condition.

(cpm)

Nodes	2	3	4	5	6	Remark
Beam analogy	90.6	152.4	216.0	277.2	341.4	$\Delta=24,860$ tons $T=7.916\text{m}$
2-D FEM [10]	88.8	149.4	212.4	277.2		$\Delta=27,304$ tons $T=8.45\text{m}$

은他船種中型船에 대한 것과 비교할 것이 Fig. 2이다. RO/RO船과 컨테이너船을 제외한 다른 航船과 비슷하게 두 振動型의 聯成度가 매우 낮으리라는 것이 예상된다.

3.3. 固有振動數

上下振動

離散化에 있어서 L_{bp} 를 기준으로하여 船首尾端集中質量이 AP 및 FP에 위치하도록 38要素로 分割하고, 2次元附加水質量을 Frank方法에 의해 계산하고, 剪斷係數로서 k_0 를 대해서 계산된 上下振動 固有振動數가 Table 4와 같다. 비교목적으로 2-D FEM 계산결과[10]도 보였다. Table 4로부터 2-D FEM 계산결과와의 부합성이 매우 양호함이 확인된다.

離散化에 있어서 L_0 를 기준으로 했을때 전체적으로 약간 낮은 振動數가 算定되는 데 그 차는 2% 미만이다.剪斷係數로서 k_c 또는 k_s 를 채택했을때 k_c, k_s 全

으로 약간식 높은 振動數가 算定되는데 그 차는 2% 미만이다. 또 2-D附加水質量을 Lewis방법과 Frank방법을 혼용하여 계산했을 때 약간 높은 振動數가 算定되는데 그 차는 1% 정도이다.

水平・垂點聯成振動

離散化에 있어서 L_{bp} 를 기준으로 하여 船首尾端集中慣性要素가 FP 및 AP에 위치하도록 하여 38要素로 分割하고, 2-D附加水質量 등을 Frank방법에 의해 算定한 경우의 固有振動數가 Table 5의 N_c 와 같다. Table 5에는 비교 고찰 목적으로 非聯成을 가정한 결과 및 후술할 근사계산결과 N_E 도 주어져 있다. 2-D附加水質量 등을 Frank방법과 Lewis방법을 혼용하여 계산했을 때 약간 높은 固有振動數가 算定되는데 그 차는 0.5% 미만이다.

Table 5로부터 전체적으로 聯成度가 낮고, 主振動이水平 mode인 경우의 固有振動數는 非聯成으로 가정한

Table 5 Natural frequencies of coupled horizontal-torsional modes: ballast condition. (cpm)

Uncouple assumed				Coupled			
Horizontal		Torsional		Node	Frequency		
Node	Freq.	Node	Freq.		H-T	N_c : detail calc.	N_E : (14)
2	124.4	1	197.7	(2)-1	123.0	123.0	1.000
					2-①	217.7	203.8 0.936
3	275.5	2	322.0	③-1	268.9	194.2	0.722
					2-②	351.4	329.1 0.937
4	439.1	3	430.6	④-4	418.0	429.2	1.027
					4-③	489.0	483.9 0.990
5	601.7	4	572.9	⑤-4	567.5	536.2	0.945
					5-④	656.4	655.1 0.998
6	773.2	5	736.4	⑥-5	725.9	689.1	0.949
					6-⑤	822.5	841.9 1.024

○ : predominant mode

水平 mode의 固有振動數 보다 약간 낮아지고, 主振動이 비률 mode인 경우에는 그 성향이 水平 mode 경우와 반대 즉 非聯成 비률mode의 固有振動數보다 약간 높음을 알 수 있다.

Table 5에 Ohtaka 등[23]이 均一斷面보를 모델로 하여 도출한 聯成固有振動數 近似推定式

$$N^2 = \frac{1}{2(1-\sigma^2)} \left\{ (N_H^2 + N_T^2) \pm \sqrt{(N_H^2 + N_T^2)^2 - 4(1-\sigma^2)N_H^2N_T^2} \right\} \quad (14)$$

여기서

金極天, 趙大昇, 鄭正勳, 姜俊旭, 文碩俊, 禹濟赫

N_H, N_T : 차례로 水平 및 비률固有振動數(cpm)

$\sigma = \frac{\rho}{\kappa}$; (ρ : 剪斷中心과 重心간의 거리, κ : 斷面의 剪斷中心에 대한 回轉慣性半徑)

+ : 主振動이 비률mode 때

- : 主振動이 水平mode 때

을 준용한 계산결과 N_E 가 주어져 있다. (14)의 준용에 있어서 σ 는 中央斷面要素에 대한 값을 취했다. N_C 와 N_E 의 차이는 ③-1 mode를 제외하고 7% 미만이다. 즉, Ohtaka 등의 근사식은 RO/RO船의 聯成固有振動數 初期推定에 매우 유용하게 이용될 수 있음이 확인된다.

3.4. 強制振動應答

2.2절에서 기술한 바와 같이, modal 解析에 있어서 3.3절의 固有振動計算 결과를 직접적으로 사용하되, 有限自由度 離散化에 의한 근사계산, 附加水質量 및 有效剛性의 振動次數에 따른 변화 등이 mode 直交關係式에 미치는 영향, 減衰의 cross-mode 영향 등을 무시하는 계산방법에 대한 일련의 검토가 본절의 목적이다.

上下振動應答

modal 解析에 있어서, [7]에 보인 정식화에 따라 一般化慣性매트릭스 $[M_{rs}]$ 및 一般化剛性매트릭스 $[K_{rs}]$ 를 $r=s=7$ 까지 계산한 결과는 Table 6과 같다. 一般化減衰係數 계산에 있어서는 構造部材의 內部摩擦만을 고려하였는데, 引張粘彈性係數 αE 및 剪斷粘彈性係數 βG 에 대하여 α, β 의 값은 Hirowatari[24]의 실험치 즉, $\alpha(\text{sec})=1.1 \times 10^{-3}$, $\beta(\text{sec})=0.7 \times 10^{-3}$ 이 사용되었다.

Table 6 Generalized mass, M_{rs} , and stiffness, K_{rs} : vertical modes in ballast condition.

(a) M_{rs}

modal index	1	2	3	4	5	6
1	1156.6	3.5	-73.8	-17.6	-44.1	-55.1
2	1.3	1124.7	2.5	-89.7	-14.2	-55.2
3	-18.2	1.6	1061.2	10.0	-117.5	-10.8
4	-2.3	-33.8	7.1	1370.6	40.4	-175.0
5	-7.8	-2.1	-56.0	29.4	1947.6	113.7
6	-2.6	-14.1	-0.9	-98.1	90.0	3206.3

(b) K_{rs}

(kN·m)

modal index	1	2	3	4	5	6
1	103861.2	314.5	-6624.9	-1578.7	-3964.3	-4944.4
2	332.2	287009.7	636.7	-22900.1	-3614.3	-14094.1
3	-9313.4	843.8	543059.0	5135.7	-60152.9	-5504.4
4	-1968.1	-28548.8	5998.5	1156243.7	34080.8	-147638.0
5	-9954.8	-2625.0	-71492.1	37540.5	2485533.9	145143.3
6	-4651.3	-24765.5	-1658.9	-172286.9	157981.2	5630801.9

Table 7 Generalized damping C_{rs} : vertical modes in ballast condition.

modal index	1	2	3	4	5	6	(ton·m ² /s)
1	116.9	1.2	9.8	1.8	11.5	-4.4	
2	1.3	276.9	2.1	0.6	-2.0	1.2	
3	-4.4	3.2	509.6	5.1	-26.8	-6.8	
4	-0.2	-29.4	9.7	1028.3	27.0	-109.6	
5	-20.3	3.4	-87.4	45.8	2143.0	139.1	
6	-2.4	-56.6	15.0	-243.6	210.1	4852.3	

계산과 족, 一般化減衰매트릭스 $[C_{rs}]$ 는 Table 7과 같다. 한편, Table 7의 對角線要素 C_{rr} 를 ISSC-1982 guideline[1]의 平均值로부터 산정된 modal 減衰係數 \tilde{C}_r 와 비교한 것이 Table 8인데, 兩者的 差는 근소하다.

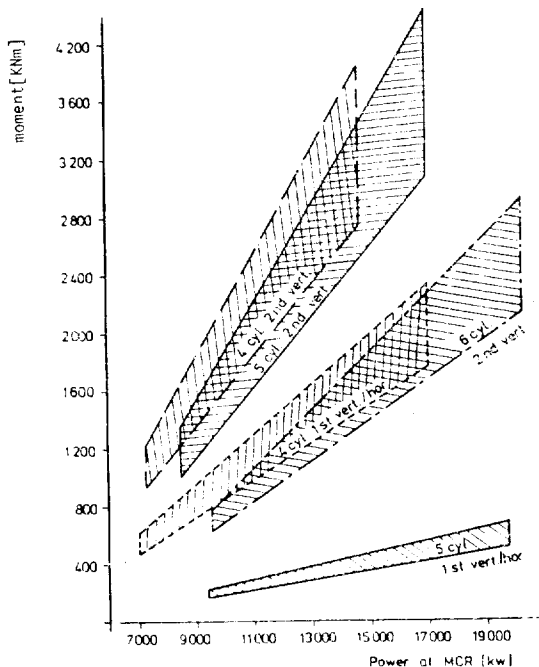
振動應答 계산에 있어서 (6), (7) 및 (8)에 의거한 계산은 Table 6 및 7에서 $[M_{rs}]$, $[K_{rs}]$ 및 $[C_{rs}]$ 의 對角線要素 만을 취하는 경우인데 이를 case 1로 하고, 이에 대하여 case 2 : $[M_{rs}]$ 및 $[K_{rs}]$ 에 한하여 對角線要素 만 취하는 경우 및 case 3 : $[M_{rs}]$, $[K_{rs}]$ 및 $[C_{rs}]$ 의 非對角線要素도 고려하는 경우를 비교 목적으로 계산했다. case 2 및 case 3의 정식화 과정은 [7]에 상술되어 있고, 方程解法은 Fawzy 등[25]의 방법을 따랐다.

Table 8 Comparison of modal damping: vertical modes in ballast condition.

Node	Crr of Table 7	\tilde{C}_r 1)	(ton·m ² /s)
2	116.9	98.6	
3	276.9	268.2	
4	509.6	502.2	
5	1028.3	1061.9	
6	2143.0	2268.4	
7	4852.3	5114.8	

1) Based on mean values of ISSC-1982 guidelines.

數値計算例로서는 엔진의 單位크기 不平衡모멘트 즉, 1kN·m에 대한 station 1(A.P.)에서의 共振振幅을 계산했으며 그 결과는 Table 9와 같다. case 1에 대해서

**Fig. 3** External 1st and 2nd order moments of two-stroke engines[26].**Table 9** Resonance response at station 1 to 1 kN·m vertical unbalanced moment of main engine: ballast condition.

Node	Natural frequency (cpm)	Resonance Amplitude (μm)			
		Case 1		Case 2	
		Contribution of Resonance mode only	Contribution up to 6th modes	Contribution up to 6th modes	Contribution up to 6th modes
2	90.5	10.128	10.124	10.124	10.341
3	152.5	3.095	3.095	3.096	3.178
4	216.0	1.002	1.002	1.004	1.091
5	277.4	0.293	0.294	0.295	0.326
6	341.1	0.049	0.050	0.051	0.056

는共振해당基準振動型寄與分母을 위한 결과도 보였다. case 1 및 case 2의 값들은 거의 일치하고 있다.

2行程 디이겔엔진의不平衡모멘트의 초기推定을 위해 Payer 등[26]이 Fig. 3과 같은 차표를 제시하고 있다. Fig. 3에서 제 2 차不平衡모멘트의 경우 엔진 출력 17,000P.S.를 기준으로 했을 때 중간치가 5 실린더 일 때 약 3,500kN·m, 6 실린더 때 약 2,000kN·m이다. Table 9의 case 1 및 case 3 값은 3,500kN·m에 대해 환산한 결과를 비교하면 그 차가 2,3 및 4절共振 때 차례로 0.76, 0.29 및 0.31mm이다.

水平·垂轎聯成振動應答

上下振動應答에 준하는 數值實驗的 計算이 수행되었다. [7]에 보인 정식화에 따라 계산한 一般化慣性매트리스 $[M_{rs}]$ 및 一般化減衰매트리스 $[C_{rs}]$ 는 Table 10, 一般化剛性매트리스 $[K_{rs}]$ 는 Table 11에 보였다. C_{rs} 계산에 있어서粘彈性係數는 上下振動때와 같은 값이 사용되었다. $[K_{rs}]$ 및 $[C_{rs}]$ 가 上下振動때와는 달리對稱매트리스인 이유는 水平振動에 대한 鍔形剛性 산정에 있어서 3.2節에 설명된 바와 같은 이유로 有效幅 개념에 입각한 수경을 하지 않았기 때문이다. $[M_{rs}]$, $[K_{rs}]$ 및 $[C_{rs}]$ 모두 非對角線要素의 對角線要素에 대한 比가 上下振動 때에 비해 큰 폭인데, 특히 $[C_{rs}]$ 에 있어서는 매우 크다.

應答계산에 있어서 (6), (10), (11) 및 (12)에 의거한 계산은 Table 10 및 11에서 $[M_{rs}]$, $[K_{rs}]$ 및 $[C_{rs}]$ 의 對角線要素만을 취하는 경우인데 이를 case 1로 하고,

Table 10 Generalized mass, M_{rs} , and stiffness, K_{rs} : coupled hori.-torsi. modes in ballast condition.

(a) M_{rs}

Node No.	1	2	3	4	5	6	7	8	9	10	(ton·m) ²
1	918.5	-41.7	-1.9	-49.3	-3.2	-21.4	-1.8	56.3	-20.1	-34.9	
2	-13.4	523399.0	207.3	169.8	317.6	-501.8	-391.5	434.9	91.0	1698.9	
3	-0.4	136.0	1196.5	34.3	-3.5	-2.7	-11.8	-276.3	-1.1	21.2	
4	-6.1	65.2	20.1	540385.5	-47.2	-240.3	-129.7	1628.5	183.4	-37.4	
5	-0.3	88.0	-1.5	-34.0	1474.5	-17.5	0.5	-56.9	-20.3	39.8	
6	-1.4	-100.2	-0.8	-124.9	-12.6	5515.8	56.1	126.9	20.1	64.9	
7	-0.1	-60.1	-2.8	-51.8	0.3	43.1	1701.6	-285.6	-18.5	-38.3	
8	2.1	51.6	-49.9	502.9	-24.4	75.3	-220.9	253495.0	527.7	69.2	
9	-0.6	8.9	-0.2	46.7	-7.2	9.8	-11.8	435.0	2052.1	123.8	
10	-0.9	137.1	2.6	-7.9	11.6	26.2	-20.1	47.1	102.2	12723.7	

(b) K_{rs}

Node No.	1	2	3	4	5	6	7	8	9	10	(MN·m)
1	154.0	-7.0	-0.3	-8.3	-0.5	-3.6	-0.3	9.4	-3.4	-5.8	
2		273065.0	108.2	88.6	165.7	-261.8	-204.3	226.9	47.5	886.4	
3			951.4	27.3	-2.8	-2.2	-9.4	-219.7	-0.9	16.9	
4				73398.7	-64.1	-326.3	-176.2	2211.9	249.1	-50.8	
5					2778.1	-32.9	0.9	-107.2	-38.2	74.9	
6			SYM.			14406.3	146.6	331.4	52.4	169.6	
7							5788.1	-971.6	-63.1	-130.1	
8								1114990.0	2321.1	304.4	
9									10949.5	660.7	
10										82268.6	

Table 11 Generalized damping C_{rs} : coupled hori.-torsi. modes in ballast condition.

Node No.	1	2	3	4	5	6	7	8	9	10	(ton·m) ² /s
1	187.9	-523.1	7.8	404.1	-10.5	25.1	26.6	134.0	-40.1	21.9	
2		222450.0	2578.1	-1192.7	1383.8	-2055.9	-206.1	1889.7	1016.3	3238.0	
3			998.5	1505.9	224.0	-651.7	-107.1	-1278.7	213.6	313.4	
4				70254.0	-1403.8	-5217.7	-2091.4	20939.0	1217.9	2696.6	
5					2676.1	110.8	911.0	-14372.0	-1015.8	340.0	
6		SYM.				13073.0	2684.4	4456.8	965.5	6310.2	
7							4915.0	-15128.0	828.0	3167.7	
8								974490.0	33366.0	-33406.0	
9									8805.1	8038.1	
10										63961.0	

Table 12 Resonance response at station 1 to 1 kN·m horizontal unbalanced moment of main engine: ballast condition.

Order No.	Natural frequency (cpm)	Resonance Amplitude ($\mu\text{m}, \text{mrad}$)							
		Case 1		Case 2		Case 3			
		Contribution of Resonance mode only	Contribution up to 10th modes	Horizon.	Torsion				
1	123.7	7.807	47.0	7.808	47.0	7.809	46.2	7.813	48.0
2	218.1	0.048	79.3	0.045	79.3	0.068	98.9	0.070	109.6
3	269.3	0.608	14.8	0.608	14.8	0.609	16.8	0.610	11.7
4	351.9	0.038	23.4	0.038	23.4	0.042	23.1	0.045	27.4
5	414.5	0.103	1.0	0.104	0.9	0.104	0.7	0.105	0.9
6	488.0	0.019	3.4	0.017	3.4	0.017	3.2	0.018	4.6

이에 대해 case 2 및 case 3을 上下振動과 같이 정의 했을 때 엔진의 水平不平衡모멘트 1kN·m에 대한 station 1(A.P.)에서의 共振振幅이 Table 12와 같다. case 1에 대해서는 共振해단 基準振動型 기여분만을 취한 결과도 보였다. case 2 및 case 3의 정식화 과정은 [7]에 상술되어 있고 또 방정식해법은 Fawzy 등 [25]의 방법을 따랐다.

Fig. 3으로부터 제 1 차 水平不平衡모멘트의 경우 엔진 出力 17,000P.S.를 기준으로 했을 때 중간치가 4선 린더 일때 약 2,000kN·m, 5실린더일때 약 400kN·m이다. Table 11의 값을 2,000kN·m에 대해 환산했을 때 case 1과 case 3의 결과는 그 차가 매우 작아 1,2,3 및 4차 共振振動型에 있어서 차례로 (수평 진폭mm, 비틀진폭mrad)이 (0.01, 0.002), (0.05, 0.061), (0.004, 0.006) 및 (0.01, 0.008)에 불과하다.

4. 結 論

自動車運搬船의 船體低次振動의 解析에 관한 일련의 고찰을 통하여 알어지는 주요 결론은 다음과 같다.

(1) 엔진不平衡모멘트 振動數 범주의 振動解析은 보류推集中質量系 모델링에 의해 좋은 결과를 얻을 수 있다. 모델링에 있어서 船首尾 張出部 및 船尾部 集中儀裝重量 등을 고려하여 左, 右端 慣性要素을 A.P. 및 F.P.에 위치하도록 하고 35~40 要素로 분할하는 것이 바람직하다.

(2) 2次元 附加水質量 계산에 있어서 Lewis form 근사가 가능한 단면에 대해서까지 Frank방법 등 정밀한 방법을 적용할 필요는 없다. 3次元 修正係數로서는 水線下斷面의 幅·吃水 比가 매우 큰 점을 고려하여 有限長橢圓斷面柱狀體의 값을 준용하는 것이 바람직하다.

(3) 上下振動에 대한 船體斷面 剪斷係數는 他船種에

비해 매우 작은 값이고, Poisson비를 무시하는 편의적 變形에너지法에 의한 계산과 Cowper, Stephen 등 Poisson 비를 고려하는 방법에 의한 값의 차가 매우 근소하다.

水平振動에 대해서는 多重甲板으로 有效剪斷面積을 投影面積法에 의해 산정하고 또 굽힘剛性에 대해 有效幅 개념에 의거한 수정을 고려하지 않아도 무방하다고 판단된다.

(4) 水平·비틀聯成度가 낮고, 主振動이 水平mode인 경우의 固有振動數는 非聯成으로 가정한 水平mode의 固有振動數보다 약간 낮아지고, 主振動이 비틀mode인 경우에는 그 성향이 水平mode 경우와 반대이다.

(5) Ohtaka 등이 均一斷面보를 모델로하여 얻은 水平·비틀聯成固有振動數 近似式이 初期推定式으로서 有用함이 확인된다.

(6) modal 解析방법에 의한 強制振動應答계산에 있어서 固有振動計算 결과를 적집적으로 사용하되 有限自由度 離散化와 附加水質量 및 有效剛性의 振動次數에 따른 변화 등이 mode 直交關係式에 미치는 영향, 減衰의 cross-mode 영향 등을 무시해도 무방하다. 또 共振振幅계산에 있어서 上下振動에 대해서는 물론이라니와 水平·비틀聯成振動에 대해서도 共振해단振動型의 기여분만으로 산정해도 타당한 결과를 얻을 수 있다. 위와 같은 문제들에 우선하여 중요한 인자는 적정한 減衰比의 설정이다.

後 記

이 논문은 韓國科學財團支援 目的基礎研究 管理番號 860317-02-02의 일부이다. 이 기회에 同財團에 대하여 深深한 謝意를 표한다.

參 考 文 獻

- [1] Proceedings of the 8th ISSC; Report of Technical Committee I.4, Gdansk, 1982.
- [2] Meirovitch, L., *Analytical Methods in Vibrations*, Macmillan Co., 1967.
- [3] 金極天 등, “船體振動解析 電算프로그램 開發에 관한 研究”, 科學技術處 報文 R-75-9, 1975.
- [4] Csupor, D., “Methoden zur Berechnung der freien Schwingungen des Schiffskoppers”, *Jahrbuch der STG*, Band 50, 1956/DTMB Translation 288, 1959.
- [5] Bishop, R.E.D. and Price, W.G., *Hydroelasticity of Ships*, Cambridge Univ. Press, 1979.
- [6] 金極天 등, “基準振動型重疊法에 의한 Timoshenko 보류推構造體의 強制橫振動解析”, 大韓造船學會誌, 20卷 1號, 1983.
- [7] 文碩俊, “RO/RO船의 船體強制振動應答 解析”, 서울大 工大 碩士論文, 1989.
- [8] 禹濟赫, “RO/RO船의 船體上下振動解析”, 서울大 工大 碩士論文, 1988.
- [9] 姜俊旭, “RO/RO船의 水平·垂直聯成振動解析”, 서울大 工大 碩士論文, 1989.
- [10] VERITEC-DnV, Technical Report No. 84-3360, July, 1984.
- [11] Cowper, G.R., “The Shear Coefficient in Timoshenko's Beam Theory”, *Journal of Applied Mechanics*, Vol. 33, ASME, 1966.
- [12] Stephen, N.G., “Timoshenko's Shear Coefficient from a Beam Subjected to Gravity Loading”, *Journal of Applied Mechanics*, Vol. 47, ASME, 1980.
- [13] 金極天·崔壽珍, “船體振動解析에 있어서의 有效剪斷剛性度”, 大韓造船學會誌, 22卷 1號, 1985.
- [14] Jensen, J.J. et al., “Recent Advances in Beam Models Used for Ship Hull Vibration Analysis”, *Proc. International Symposium on Ship Vibration*, CETNA, Genova, Italy, May, 1984.
- [15] Landweber L. and de Macagno, M.C., “Added Mass of Two dimensional Forms Oscillating in a Free Surface”, *JSR*, Vol. 1, No. 3, SNAME, 1957.
- [16] Kumai, T., “Added Mass Moment of Inertia Induced by Torsional Vibration of Ships”, *Jour. SNA of Japan*, Vol. 104, 1959.
- [17] Frank W., “On the Oscillations of Cylinders in or below the Free Surface of Deep Fluids”, *NSRDC Report 2375*, Oct., 1967.
- [18] Umezaki, K. et al., “Vibration of Container Ships”, *Jour. SNA of Japan*, Vol. 126, 1969.
- [19] 趙大昇, 船體 水平·垂直聯成振動에 있어서의 附加水質量中心에 관한 考察”, 서울大 工大 碩士論文, 1987.
- [20] 金極天·柳炳健, “船體 水平振動에 있어서의 附加質量 3次元修正係數”, 大韓造船學會誌, 11卷 1號, 1974.
- [21] 金極天·李昊燮, “船體 垂直振動에 있어서의 附加慣性豆엔트 3次元修正係數”, 大韓造船學會誌, 11卷 3號, 1974.
- [22] 金昌烈, “船體 上下振動에 대한 附加質量 3次元修正係數”, 大韓造船學會誌, 11卷 2號, 1974.
- [23] Ohtaka, K. et al., “On the Horizontal and Torsional Vibration of Ships”, *Jour. SNA of Japan*, Vol. 121, 1967.
- [24] 日本海事協會, 船舶振動設計指針, 1981.
- [25] Fawzy, I. and Bishop, R.E.D., “On the Dynamics of Linear Non-conservative Systems”, *Proc. Royal Society*, London, Vol. A-352, 1976.
- [26] Payer, H.G. and Asmussen, I., “Vibration Responses on Propulsion-Efficient Container Vessels”, *Trans. SNAME*, Vol. 93, 1985.